

В. Н. ЛОЗИНСКИЙ

ТЕРМОУПРУГИЕ НАПРЯЖЕНИЯ В КРУГЛОЙ ПЛАСТИНКЕ  
С РЕГУЛЯРНО РАСПОЛОЖЕННЫМИ КРУГОВЫМИ  
ОТВЕРСТИЯМИ, ВЫЗВАННЫЕ ДЕЙСТВИЕМ  
ТОЧЕЧНОГО ИСТОЧНИКА ТЕПЛА.

Решение термоупругой задачи для круглого цилиндра с регулярно расположенными круговыми полостями, когда на контурах цилиндра задана определенная температура, изучено методом А. С. Космодамианского [3] в работе [1]. В данной работе этим же методом решена и исследована термоупругая задача в случае действия в пластинке сосредоточенного источника тепла.

1. Рассмотрим круглую пластинку радиуса  $R$ , ослабленную  $m$  круговыми отверстиями радиуса  $r = 1$  таким образом, что центры их находятся на окружности радиуса  $d$ , концентричной к окружности радиуса  $R$ , а угол регулярности  $\beta$  равен  $\frac{2\pi}{m}$  (см. фиг. 1). В центре пластинки действует стационарный точечный источник тепла мощностью  $W$ . На контурах  $L_0, L_1, \dots, L_m$  температура  $T = 0$ .

Чтобы определить напряженное состояние данной пластинки, необходимо найти сначала температурное поле, возникающее в ней. Для этой цели необходимо проинтегрировать уравнение

$$\nabla^2 T + \frac{W}{\lambda} \delta(z) = 0 \quad (1)$$

при заданных для температуры граничных условиях [5]. В уравнении (1)  $\delta(z)$  — функция Дирака,  $\lambda$  — коэффициент теплопроводности.

Общее решение уравнения (1) можно выразить, как известно, через функцию комплексного переменного  $F(z)$ , аналитическую в данной области и имеющую особенность в точке  $z = 0$ :

$$T = F(z) + \overline{F(\bar{z})} \quad (2)$$

В рассматриваемом случае функцию  $F(z)$  можно представить следующим образом [3]:

$$F(z) = A \ln z + \sum_{q=1}^m B^{(q)} \ln(z - z_q) + \\ + \sum_{q=1}^m \sum_{k=1}^{\infty} \frac{b_k^{(q)}}{(z - z_q)^k} + \sum_{k=0}^{\infty} a_k \left(\frac{z}{R}\right)^k \quad (3)$$

где  $B^{(q)}$  — вещественные постоянные,  $b_k^{(q)}$ ,  $a_k$  — комплексные постоянные,  $z_q$  — координата центра  $q$ -го отверстия. Учитывая геометрическую симметрию и симметрию граничных условий, выражение (3) можно переписать так:

$$\begin{aligned} F(z) = & A \ln z + B \sum_{q=1}^m \ln(z - de^{q\pi}) + \\ & + \sum_{q=1}^m \sum_{k=1}^{\infty} \frac{b_k e^{q\pi k}}{(z - de^{q\pi})^k} + \sum_{k=0, m, 2m}^{\infty} a_k \left(\frac{z}{R}\right)^k \end{aligned} \quad (4)$$

Здесь

$$B = B^{(1)}, \quad b_k = b_k^{(1)}, \quad q^\pi = i \frac{2\pi}{m}(q-1).$$

Следуя Э. Мелану, Г. Паркусу [4], коэффициент  $A$  определим так:

$$A = -\frac{W}{4\pi\delta}, \quad (5)$$

где  $\delta$  — толщина пластинки.

Остальные коэффициенты, которые, как показали проведенные нами исследования, являются вещественными величинами. Они определяются из граничных условий для температуры на контурах пластинки  $L_1$  и  $L_0$ . На остальных контурах  $L_2, \dots, L_m$  граничные условия выполняются автоматически. Обычным методом рядов для определения этих коэффициентов получим следующую бесконечную алгебраическую систему:

$$\begin{aligned} Bm\ln R + a_0 &= -A\ln R \\ B \sum_{q=2}^m \ln [d^2(2 - e^{q\pi} - e^{-q\pi})] + 2 \sum_{n=1}^{\infty} \varepsilon_1^{m(n-1)} a_{m(n-1)} + \\ &+ 2 \sum_{n=1}^{\infty} \varepsilon_2^n \sum_{q=2}^m \frac{e^{q\pi n}}{(1 - e^{q\pi})^n} b_n &= -2A\ln d \\ -B \frac{m}{j} \varepsilon_1^j + a_j + mb_j^{(0)} &= 0, \quad j = m, 2m, 3m, \dots \\ -BP_j + a_j^{(1)} + b_j + b_j^{(1)} &= A \frac{(-\varepsilon_2)^j}{j}, \quad j = 1, 2, 3, \dots \end{aligned} \quad (6)$$

Здесь

$$\varepsilon_1 = \frac{d}{R}, \quad \varepsilon_2 = \frac{1}{d}$$

$$a_j^{(1)} = \sum_{n=1}^{\infty} \hat{a}_{m(n-1)}^j \varepsilon_1^{m(n-1)} \varepsilon_2^n C_{m(n-1)}^j a_{m(n-1)}$$

$$b_i^{(1)} = \sum_{n=1}^{\infty} (-z_2)^j z_2^n C_{j+n-1}^j \sum_{q=2}^m \frac{e^{q^* n}}{(1-e^{q^*})^{j+n}} b_n$$

$$b_j^{(0)} = \sum_{n=1}^j z_1^{j-n} \left(\frac{1}{R}\right)^n C_{j-1}^{j-n} b_n$$

$$P_j = \frac{(-z_2)^j}{j} \sum_{q=2}^m \frac{1}{(1-e^{q^*})^j}$$

$$\delta_{m(n-1)}^j = \begin{cases} 1, & \text{если } m(n-1) \geq j \\ 0, & \text{если } m(n-1) < j \end{cases}$$

2. После определения функции  $F(z)$  становится известным распределение температуры в пластинке. Неравномерность этого распределения приводит к возникновению в пластинке напряжений и перемещений [4]:

$$\begin{aligned} \bar{\sigma}_x + \bar{\sigma}_y &= -8Gk_1[F(z) + \bar{F}(z)] \\ \bar{\sigma}_y - \bar{\sigma}_x + 2i\bar{\tau}_{xy} &= -8Gk_1[\bar{z}F'(z) + f'(z)] \end{aligned} \quad (7)$$

где  $k_1 = \frac{\alpha}{4}(1+\nu)$  ( $\alpha$  — коэффициент теплового расширения,  $\nu$  — коэффициент Пуассона);  $G$  — модуль сдвига,

$$f(z) = (b_1 - Bd) \sum_{q=1}^m e^{q^*} \ln(z - de^{q^*})$$

— функция, определяемая из условия однозначности перемещений и напряжений, получаемых в результате интегрирования уравнения термоупругого потенциала. Они обозначены здесь черточками сверху.

Так как найденные поля напряжений и перемещений получены с помощью частного решения уравнения термоупругого потенциала, то они, как и следовало ожидать, не удовлетворяют граничным условиям. Поэтому к полю напряжений  $\bar{\sigma}_x$ ,  $\bar{\sigma}_y$ ,  $\bar{\tau}_{xy}$  нужно прибавить второе поле, которое возникает в пластинке, если к контурам приложить усилия  $(\bar{X}_n + i\bar{Y}_n)$  в случае, когда они свободны, или перемещения  $(\bar{u} + i\bar{v})$  в случае жесткого защемления контуров.

Для определения второго поля напряжений необходимо найти функции

$$\begin{aligned} \varphi(z) &= \sum_{q=1}^m \sum_{j=1}^{\infty} \frac{c_j^{(q)}}{d_j^{(q)}} \frac{1}{(z - z_q)^j} + \sum_{j=0}^{\infty} \beta_j \left(\frac{z}{R}\right)^j \\ \psi(z) &= \end{aligned} \quad (8)$$

из граничных условий вида

$$\gamma_q \varphi(t_q) + t_q \bar{\varphi}'(t_q) + \bar{\psi}(t_q) = F(t_q) \quad (9)$$

где  $t_q$  — аффикс точки на одном из контуров,

$$\gamma_q = -\frac{3-\gamma}{1+\gamma}, \quad F(t_q) = 2G(\bar{u} + i\bar{v})$$

если рассматриваемый контур зашемлен, и  $\gamma_q = 1$

$$F(t_q) = -i \int_0^s (\bar{X}_n + i\bar{Y}_n) ds$$

если контур свободен ( $q = 0, 1, 2, \dots, m$ ).

Ввиду геометрической симметрии и симметрии граничных условий выражения (8) можно представить следующим образом:

$$\begin{aligned} v(z) &= \sum_{q=1}^m \sum_{j=1}^{\infty} \frac{c_j e^{q^*(j+1)}}{(z - de^{q^*})^j} + \sum_{j=1, m+1, 2m+1, \dots}^{\infty} \gamma_j \left(\frac{z}{R}\right)^j \\ \psi(z) &= \sum_{q=1}^m \sum_{j=1}^{\infty} \frac{d_j e^{q^*(j-1)}}{(z - de^{q^*})^j} + \sum_{j=m-1, 2m-1, \dots}^{\infty} \beta_j \left(\frac{z}{R}\right)^j \end{aligned} \quad (10)$$

3. Проведенные исследования показали, что коэффициенты  $c_j$ ,  $d_j$ ,  $\gamma_j$  и  $\beta_j$ , входящие в выражения (10), являются вещественными. Для их определения методом рядов получена следующая бесконечная алгебраическая система уравнений:

$$\begin{aligned} \gamma_1 c_j + d(j+1)(c_{j+1}^{(1)} + A_{j+1}^{(1)}) + (j+2)(c_{j+2}^{(1)} + A_{j+2}^{(1)}) + \\ + d_j^{(1)} + B_j^{(1)} = f_j^{(1)}, \quad j = 1, 2, 3, \dots \\ (\gamma_1 + h_j^1)(c_j^{(1)} + A_j^{(1)}) - h_j^2(j-2)c_{j-2} - h_j^3 c_{j-1} + d_j = f_j^{(2)}, \quad j = 1, 2, 3, \dots \\ (\gamma_0 + h_j^1)\gamma_j + d_j^{(0)} - h_j^3(j-2)c_{j-2}^{(0)} = f_j^{(3)}, \quad j = 1, m+1, 2m+1, \dots \\ \gamma_0 c_j^{(0)} + (j+2)\gamma_{j+2} + \beta_j = f_j^{(4)}, \quad j = m-1, 2m-1, \dots \end{aligned} \quad (11)$$

Здесь

$$\begin{aligned} c_j^{(1)} &= \sum_{n=1}^{\infty} (-\varepsilon_2)^j \varepsilon_2^n c_{j+n-1}^j \sum_{q=2}^m \frac{e^{q^*(n+1)}}{(1-e^{q^*})^{j+n}} c_n \\ d_j^{(1)} &= \sum_{n=1}^{\infty} (-\varepsilon_2)^j \varepsilon_2^n C_{j+n-1}^j \sum_{q=2}^m \frac{e^{q^*(n-1)}}{(1-e^{q^*})^{j+n}} d_n \\ A_j^{(1)} &= \sum_{n=1}^{\infty} \delta_{n1}^j \varepsilon_2^j \varepsilon_1^{n1} C_{n1}^j \alpha_{n1}, \quad B_j^{(1)} = \sum_{n=1}^{\infty} \delta_{2n}^j \varepsilon_1^{n2} \varepsilon_2^j C_{n2}^j \beta_{n2} \\ c_j^{(0)} &= \sum_{n=1}^j m \varepsilon_1^{-n} \left(\frac{1}{R}\right)^n C_{j-n}^j c_n, \quad d_j^{(0)} = \sum_{n=1}^j m \varepsilon_1^{-n} \left(\frac{1}{R}\right)^n C_{j-n}^j d_n \end{aligned}$$

$$h_i^1 = \begin{cases} 1, & \text{если } j=1, \\ 0, & \text{если } j>1, \end{cases} \quad h_i^2 = \begin{cases} 1, & \text{если } j \geq 2, \\ 0, & \text{если } j<2; \end{cases} \quad h_i^3 = \begin{cases} 1, & \text{если } j > 3 \\ 0, & \text{если } j \leq 3 \end{cases}$$

$$n1 = m(n-1) + 1, \quad n2 = mn - 1, \quad \tilde{\delta}_k^i = \begin{cases} 1, & \text{если } k-j \geq 0, \\ 0, & \text{если } k-j < 0. \end{cases}$$

Выражения для правых частей системы (11)  $f_i^{(1)}$ ,  $f_i^{(2)}$ ,  $f_i^{(3)}$  и  $f_i^{(4)}$  имеют вид

$$f_i^{(1)} = 4Gk_1A \left[ B(P_id + P_{i-1}) + (-\varepsilon_2)^{j-1} \left( \frac{1}{j} - \frac{\varepsilon_2}{j+1} \right) + \right. \\ \left. + \frac{(-\varepsilon_2)^{j+1}}{j} \sum_{q=2}^m \frac{e^{q^*}}{(1-e^{q^*})^j} - \frac{b_{i+1}}{j} + b_{i+1}^{(1)} + b_i^{(1)}d + a_{i+1}^{(1)} + a_i^{(1)}d \right]$$

$$f_i^{(2)} = 4Gk_1A \left[ h_i^1 \left[ 2\ln d - mB + B \sum_{q=2}^m \ln [d^2(2 - e^{q^*} - e^{-q^*})] + \right. \right. \\ \left. \left. + a_i^{(1)} + b_i^{(1)} \right] - b_i^{(2)} + a_i^{(2)} + b_i d + \tilde{\delta}_i^1 b_{i-1} + \right. \\ \left. + B(P_id + \tilde{\delta}_i^1 P_{i-1}) - \frac{(-\varepsilon_2)^j}{j} (b_1 - Bd) \sum_{q=2}^m \frac{e^{q^*}}{(1-e^{-q^*})^j} - \right. \\ \left. - \tilde{\delta}_i^1 \frac{(-\varepsilon_2)^{j+1}}{(j-1)j} \right]$$

$$f_i^{(3)} = 4Gk_1A \left[ h_i^1 R(2\ln R - 2mB\ln R - mB - 1 + a_0) - \right. \\ \left. - \tilde{\delta}_i^1 mBR \frac{\varepsilon_1^{j-1}}{j-1} - (b_1 - Bd) m \frac{\varepsilon_1^j}{j} + \tilde{\delta}_i^1 Rmb_{i-1}^{(0)} + R \frac{a_{i-1}}{j} \right]$$

$$f_i^{(4)} = 4Gk_1A \left[ Ra_{i+1} - mBR \frac{\varepsilon_1^{j+1}}{j+1} - (b_1 - Bd) m \frac{\varepsilon_1^j}{j} - b_i^{(3)} \right]$$

В выражениях для правых частей системы (11) коэффициенты  $a_i^{(1)}$ ,  $b_i^{(1)}$ ,  $b_i^{(0)}$ ,  $P_i$  означают то же, что и в системе (6),

$$b_i^{(2)} = \sum_{n=1}^{\infty} \frac{(-\varepsilon_2)^j \varepsilon_2^n}{n} C_{i+n-1}^j \sum_{q=2}^m \frac{e^{q^*(n+1)}}{(1-e^{q^*})^{j+n}} b_{n+1}$$

$$a_i^{(2)} = \sum_{n=1}^{\infty} \tilde{\delta}_{n1} \varepsilon_1^{m(n-1)} \varepsilon_2^{j-n} C_{n1}^j \frac{a_{m(n-1)}}{n1}$$

$$b_i^{(3)} = \sum_{n=2}^{j+1} \frac{m}{n+1} C_{j+1}^{j-n+1} \varepsilon_1^{j-n+1} \left( \frac{1}{R} \right)^{n-1} b_n$$

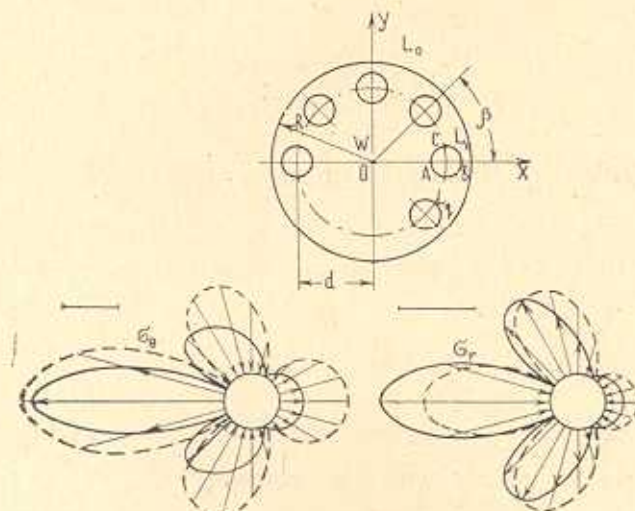
$$\delta_j^1 = \begin{cases} 0, & \text{если } j=1 \\ 1, & \text{если } j>1 \end{cases}$$

Система (11) оказывается квазирегулярной при любой близости рассматриваемых контуров, что устанавливается таким же образом, как в работе [2]. В связи с этим ее можно решать методом редукции. Знание коэффициентов  $c_k$ ,  $d_k$ ,  $\alpha_k$ ,  $\beta_k$  позволяет определить функции  $\varphi(z)$  и  $\psi(z)$ , через которые компоненты второго поля напряжений выражаются так:

$$\begin{aligned}\bar{\tau}_x + \bar{\tau}_y &= 4\operatorname{Re}\varphi'(z) \\ \bar{\tau}_y - \bar{\tau}_x + 2i\bar{\tau}_{xy} &= 2[\bar{z}\varphi''(z) + \psi'(z)]\end{aligned}\quad (12)$$

Полное поле напряжений в пластинке получается путем суммирования напряжений (7) и (12).

В качестве примера рассмотрена круглая пластинка с четырьмя отверстиями. При этом  $R = 10$ , а расстояние  $d$  варьировалось (см. табл. 1). Вычисления проводились на ЭЦВМ „Минск-22“. Точность полученных результатов контролировалась путем проверки граничных условий во многих точках контуров пластинки для каждого приближения.



Фиг. 1.

Так, например, при расстоянии  $d = 2$  в случае свободных контуров вместо нуля радиальные напряжения в точке  $A$  получали следующие значения: при числе членов, удерживаемых в функциях  $\varphi(z)$  и  $\psi(z)$ , равном восьми,  $\sigma_r = 0.095$ , при  $N = 12$  и  $16$  соответственно  $0.0028$  и  $0.00033$ . При этом тангенциальные напряжения  $\tau_\theta$  равнялись соответственно  $3.311$ ,  $3.428$  и  $3.431$ .

В табл. 1 приведены значения для напряжений  $\sigma_0$  и  $\tau_r$  с точностью до  $H = -4Gk_1A$  на контуре  $L_1$ , при этом  $\sigma_0$  относится к случаю, когда контуры свободны от внешних усилий, а  $\tau_r$  — к случаю жестко защемленных внутренних контуров.

Таблица 1

$\delta \backslash d$	$\sigma_0$							
	1.5	2.0	3.0	4.0	5.0	7.0	8.5	8.95
0	+0.058	+0.437	+1.250	+2.043	+2.809	+4.215	+5.422	+8.045
15	+0.093	+0.406	+1.158	+1.880	+2.571	+3.826	+4.905	+7.073
30	+0.078	+0.314	+0.889	+1.413	-1.900	+2.752	+3.514	+4.664
45	+0.003	+0.163	+0.466	+0.707	+0.918	-1.246	+1.651	+1.919
60	-0.010	-0.047	-0.072	-0.139	-0.198	-0.338	-0.153	-0.256
75	-0.071	-0.302	-0.665	-0.989	-1.230	-1.629	-1.980	-1.498
90	-0.205	-0.565	-1.220	-1.670	-1.936	-2.301	-2.186	-1.798
105	-0.326	-0.800	-1.607	-1.962	-2.070	-2.125	-1.836	-1.215
120	-0.658	-0.999	-1.613	-1.614	-1.435	-1.033	-0.539	+0.170
135	-1.082	-1.106	-0.905	-0.456	-0.004	+0.801	+1.450	+2.139
150	-0.708	-0.439	+0.695	+1.363	+1.910	+2.911	+3.627	+4.244
165	+0.542	+1.819	+2.672	-3.147	-3.610	-4.614	+5.327	+5.877
180	+3.420	+3.431	+3.611	+3.905	+4.297	-5.270	+5.972	+6.495
$\tau_r$								
0	-0.028	-0.232	-0.434	-0.447	-0.377	-0.166	-0.050	-0.026
15	-0.052	-0.222	-0.398	-0.389	-0.300	-0.060	+0.044	+0.028
30	-0.050	-0.186	-0.287	-0.217	-0.076	+0.244	+0.333	+0.232
45	-0.010	-0.119	-0.010	+0.060	+0.272	+0.705	+0.807	+0.649
60	-0.005	-0.008	+0.168	+0.422	+0.700	-1.243	+1.397	+1.245
75	+0.028	+0.170	+0.504	+0.820	+1.132	+1.746	+1.963	+1.866
90	+0.154	+0.447	+0.862	+1.170	+1.464	+2.061	+2.330	+2.295
105	+0.413	+0.828	+1.131	+1.343	+1.566	+2.077	+2.352	+2.359
120	+1.122	+1.155	+1.123	+1.192	+1.330	+1.728	+1.975	+2.001
135	+1.958	+0.980	+0.654	+0.640	+0.735	+1.061	+1.277	+1.308
150	-0.668	-0.038	-0.264	-0.211	-0.075	+0.261	+0.462	+0.494
165	-1.614	-1.503	-1.252	-1.018	-0.794	-0.397	-0.192	-0.158
180	-3.082	-2.279	-1.692	-1.355	-1.083	-0.652	-0.442	-0.407

На фиг. 1 даны графики распределения напряжений  $\sigma_0$  и  $\tau_r$  по контуру  $L_1$ , когда  $d = 2$  (сплошная линия) и  $d = 3$  (пунктирная линия).

Из приведенной табл. 1 следует, что в случае свободных контуров пластины испытывает максимальные напряжения  $\sigma_0$  в области точки  $A$ , которые растут по мере увеличения расстояния  $d$ .

Напряжения  $\sigma_0$  интенсивно растут при увеличении расстояния  $d$  также в области точки  $B$ , где они принимают максимальное значение, когда контуры  $L_q$  ( $q = 1, 2, \dots, m$ ) и  $L_0$  находятся в непосредственной близости друг от друга.

В случае жестко защемленных отверстий напряжения  $\sigma_r$  в области точки  $A$  растут с уменьшением расстояния  $d$ . При увеличении расстояния  $d$  напряжения  $\sigma_r$  растут в области точки  $C$ .

Донецкий вычислительный центр  
АН УССР

Поступила 27.1.1970

д. ч. 1093604

ЗЕРУГАНОВСКИЙ АДРЕСОВЫЙ АДРЕСОВЫЙ ФОРМУЛЯР  
ЗЕРУГАНОВСКИЙ АДРЕСОВЫЙ ФОРМУЛЯР  
АДРЕСОВЫЙ ФОРМУЛЯР

### В. Н. ЛОЗИНСКИЙ

Стр. 2  
Согласно условиям задачи, имеющимся в работе А. С. Космодамианского, можно предположить, что в окрестности отверстий действует однородное распределение температуры, а также, что температура на границе отверстия не меняется. Тогда, если предположить, что температура в центре отверстия равна  $T_0$ , то температура в точке  $(x, y)$  будет определяться выражением:

Любопытно отметить, что в работе А. С. Космодамианского, в отличие от настоящей работы, предполагается, что температура в центре отверстия равна  $T_0$ , а температура на границе отверстия равна  $T_\infty$ . В этом случае температура в точке  $(x, y)$  определяется выражением:

Чтобы упростить вычисления, будем считать, что температура в центре отверстия равна  $T_0$ , а температура на границе отверстия равна  $T_\infty$ . Тогда температура в точке  $(x, y)$  определяется выражением:

## THERMOELASTIC STRESSES IN A RING-LIKE PLATE WITH REGULARLY SPACED CIRCULAR HOLES CAUSED BY A POINT SOURCE OF HEAT

V. N. LOSINSKY

### S u m m a r y

The solution of a thermoelastic problem for a ring-like plate with regularly spaced circular holes and a stationary point source of heat is obtained by the method of A. S. Kosmodamiansky. The results of the numerical calculations of the stressed state for a plate with four holes when 1) all the contours are free from any loading, 2) the interior contours are rigidly fixed are presented.

## Л И Т Е Р А Т У Р А

1. Брюханова Е. Н. Температурные напряжения в круглом цилиндре с регулярно расположеннымными круглыми полостями. Прикл. механ., т. V, в. 4, 1969.
2. Космодаміанський О. С., Ложкін В. М. і Шалдирян В. А. Квазірегулярність нескінчених систем у задачах теорії пружності для пластин з круговими отворами. Докл. АН УРСР, № 3, 1970.
3. Космодаміанський О. С. Термопружна задача для циліндра з порожнинами. Прикладна механіка, т. VIII, в. 6, 1962.
4. Мелан Э., Паркус Г. Термоупругие напряжения, вызываемые стационарными температурными полями. Физматгиз, М., 1958.
5. Снеддон И. Преобразования Фурье. ИЛ, М., 1955.